

О фазовых переходах в ферми-жидкости.

II. Переход, связанный с нарушением трансляционной инвариантности

А. С. Пелетминский

Научно-технический центр электрофизической обработки НАН Украины,
Украина, 31002, г. Харьков, ул. Чернышевского 28, а/я 8812

С. В. Пелетминский, Ю. В. Слюсаренко

Национальный научный центр «Харьковский физико-технический институт»,
Украина, 310108, г. Харьков, ул. Академическая, 1
E-mail: slusarenko@kipt.kharkov.ua
spelet@kipt.kharkov.ua

Статья поступила в редакцию 24 декабря 1998 г.

Рассмотрен фазовый переход в ферми-жидкости, связанный с нарушением трансляционной инвариантности и образованием периодических структур. Особое внимание уделено образованию одномерных длиннопериодических структур в трехмерной ферми-жидкости. Проанализирована связь образования таких структур с кинетической и термодинамической устойчивостью нормального состояния ферми-жидкости.

Розглянуто фазовий перехід у фермі-рідині, пов'язаний з порушенням трансляційної інваріантності та утворенням періодичних структур. Особливу увагу приділено утворенню одновимірних довгоперіодичних структур у тривимірній фермі-рідині. Проаналізовано зв'язок утворення таких структур з кінетичною та термодинамічною стійкістю нормального стану фермі-рідини.

PACS: 05.20.-y, 05.30.Fk

1. Введение

Под нормальной ферми-жидкостью традиционно понимается вырожденная ферми-жидкость (заряженная или нейтральная), имеющая при квазичастичном описании основные свойства системы невзаимодействующих фермионов. Такое определение нормальной ферми-жидкости подразумевает, что состояние равновесия ферми-жидкости является наиболее симметричным, т.е. функция распределения, описывающая это состояние, инвариантна по отношению к пространственным трансляциям и поворотам в спиновом и импульсном пространствах.

Несмотря на естественные отличия в поведении заряженных и нейтральных ферми-жидкостей, основополагающие принципы теории нормальной

ферми-жидкости Ландау – Силина [1,2], изучающей низколежащие возбуждения на фоне равновесного состояния, позволяют при описании ряда явлений в заряженных и нейтральных системах взаимодействующих фермионов отвлекаться от наличия у квазичастиц электрического заряда. Помимо главного условия применимости теории нормальной ферми-жидкости — малости температуры T по сравнению с энергией Ферми ϵ_F ($T \ll \epsilon_F$), — важнейшим постулатом теории, общим как для нейтральных, так и для заряженных систем, является положение о функциональной зависимости энергии системы от функции распределения фермионов $f(\mathbf{p}, \mathbf{r})^*$. Эту энергию можно разложить в функциональный ряд Тэйлора по функции распределения:

* Мы пользуемся системой единиц, в которой постоянная Больцмана k и постоянная Планка \hbar равны единице.

$$E(f(\mathbf{p}, \mathbf{r})) = \sum_{n=1}^{\infty} E_n(f(\mathbf{p}, \mathbf{r})) ,$$

где величина

$$\begin{aligned} E_n(f(\mathbf{p}, \mathbf{r})) &= \frac{(2S+1)^{n-1}}{n! V^n} \times \\ &\times \sum_{\mathbf{p}_1, \dots, \mathbf{p}_n} \int d^3 r_1 \dots d^3 r_n F(\mathbf{p}_1, \dots, \mathbf{p}_n; \mathbf{r}_1 - \mathbf{r}_2, \dots, \mathbf{r}_1 - \mathbf{r}_n) \times \\ &\times f(\mathbf{p}_1, \mathbf{r}_1) \dots f(\mathbf{p}_n, \mathbf{r}_n) \end{aligned}$$

может трактоваться как n -квазичастичное взаимодействие. При этом энергия квазичастицы, являющаяся функционалом функции распределения, определяется формулой

$$\varepsilon(\mathbf{p}, \mathbf{r}) = V \frac{\delta E(f)}{\delta f(\mathbf{p}, \mathbf{r})} .$$

Пренебрегая трех- и выше квазичастичными взаимодействиями, имеем

$$\begin{aligned} \varepsilon(\mathbf{r}, \mathbf{p}) &= \varepsilon_p + \frac{2}{V} \sum_{\mathbf{p}'} \int d\mathbf{r}' F(\mathbf{r} - \mathbf{r}'; \mathbf{p}, \mathbf{p}') f(\mathbf{r}', \mathbf{p}') , \\ S &= 1/2 , \end{aligned} \quad (1.1)$$

где $F(\mathbf{r} - \mathbf{r}'; \mathbf{p}, \mathbf{p}')$ — амплитуда Ландау, характеризующая двухчастичные взаимодействия, и $\varepsilon_p \equiv F(\mathbf{p})$ — энергия фермиона без учета взаимодействия между квазичастицами. В отсутствие магнитного упорядочения наличие у фермионов спина $S = 1/2$ будет сказываться только при подсчете плотности состояний фермионов, что и отражено множителем $2S+1=2$ во втором слагаемом формулы (1.1). Равновесное состояние нормальной ферми-жидкости описывается функцией распределения Ферми—Дирака:

$$f(\mathbf{p}, \mathbf{r}) \equiv f_0(p) = [\exp \beta(\varepsilon(p) - \mu) + 1]^{-1} \quad (1.2)$$

($\beta^{-1} = T$ — обратная температура; μ — химический потенциал). Это уравнение вместе с уравнением (1.1) определяет закон дисперсии квазичастиц $\varepsilon(\mathbf{p}, \mathbf{r}) \equiv \varepsilon(p)$ в равновесном состоянии.

Строго говоря, при построении термодинамики нормальной ферми-жидкости амплитуда Ландау определяется как вторая вариационная производная от функционала энергии по функции распределения в состоянии равновесия при $T = 0$. Однако для рассмотрения структуры новой фазы недостаточно вторых вариационных производных, а необходимо введение высших вариацион-

ных производных, пренебрежение которыми при нашем рассмотрении эквивалентно пренебрежению взаимодействием квазичастиц выше второго порядка.

Важным моментом в теории является определение условий устойчивости равновесного состояния нормальной ферми-жидкости. Эта задача в пространственно-однородном случае впервые была решена Померанчуком [3], который сформулировал критерий устойчивости нормального состояния вплоть до температуры $T = 0$:

$$\frac{v(\mu) F_l}{1 + \frac{2l+1}{2l+1}} > 0 , \quad (1.3)$$

где F_l — коэффициенты при l -й гармонике в разложении пространственно-однородной амплитуды Ландау $F(\mathbf{p}, \mathbf{p}')$

$$F(\mathbf{p}, \mathbf{p}') = \int d\mathbf{r}' F(\mathbf{r} - \mathbf{r}'; \mathbf{p}, \mathbf{p}') \quad (1.4)$$

вблизи поверхности Ферми ($p \approx p' \approx p_F$) в ряд по полиномам Лежандра. Величина $v(\mu)$, входящая в формулу (1.3), представляет собой плотность энергетических состояний и определяется выражением

$$v(\mu) = \frac{2}{(2\pi)^3} \int d^3 p \delta(\varepsilon - \varepsilon(p)) . \quad (1.5)$$

Следует отметить одно важное обстоятельство. Критерии Померанчука (1.3) получены при температуре равной нулю. По этой причине, вообще говоря, нельзя утверждать, что при нарушении условий (1.3), т.е. когда $v(\mu)F_l \leq -(2l+1)$, равновесное состояние нормальной ферми-жидкости (1.2) заведомо неустойчиво при любой температуре. Наоборот, можно показать (что и будет сделано несколько ниже), что даже при нарушении критериев Померанчука состояние статистического равновесия нормальной ферми-жидкости остается устойчивым вплоть до некоторой определенной температуры T_0 и становится неустойчивым при более низких температурах $T < T_0$ (естественно, подразумевается соблюдение главного условия применимости теории нормальной ферми-жидкости $T \ll \mu$). Такая неустойчивость основного состояния ниже определенной температуры указывает на возможность фазовых переходов в ферми-жидкости, связанных с нарушением критериев устойчивости Померанчука.

Настоящая работа посвящена изучению одного из таких фазовых переходов, а именно перехода, связанного с нарушением условия устойчивости

(1.3) для нулевой гармоники ($l = 0$), т.е. когда справедливо соотношение

$$v(\mu)F_0 \leq -1 . \quad (1.6)$$

Нами будет показано, что условие (1.6) характеризует фазовый переход в ферми-жидкости, связанный с нарушением трансляционной симметрии равновесного состояния. Из дальнейшего изложения будет видно, что для решения этой задачи потребуется некоторая модификация общих положений теории нормальной ферми-жидкости, приведенных в настоящем разделе.

Однако, прежде чем перейти к описанию пространственно-периодических структур, возникающих в результате фазового перехода в ферми-жидкости, связанного с нарушением условия (1.6), рассмотрим более детально некоторые аспекты поведения ферми-жидкости в случае, когда температура системы приближается к критической со стороны нормальной фазы, т.е. $T \geq T_0$.

2. К кинетической и термодинамической теории устойчивости нормального состояния

Прежде всего проиллюстрируем связь нарушения устойчивости равновесного состояния нормальной ферми-жидкости с затуханием нулевого звука. Как известно, нулевым звуком в нормальной ферми-жидкости называют высокочастотную коллективную продольную моду, связанную с флуктуациями плотности вещества [1,2]. Существование нулевого звука возможно в области частот $\omega_r > 1$ (τ_r — время релаксации). По этой причине для исследования дисперсии нулевого звука достаточно воспользоваться кинетическим уравнением для неравновесной функции распределения $f(\mathbf{r}, \mathbf{p}, t)$ в бесстолкновительном приближении:

$$\begin{aligned} \frac{\partial}{\partial t} f(\mathbf{r}, \mathbf{p}, t) + \frac{\partial \epsilon(\mathbf{r}, \mathbf{p}, f)}{\partial \mathbf{p}} \frac{\partial f(\mathbf{r}, \mathbf{p}, t)}{\partial \mathbf{r}} - \\ - \frac{\partial \epsilon(\mathbf{r}, \mathbf{p}, f)}{\partial \mathbf{r}} \frac{\partial f(\mathbf{r}, \mathbf{p}, t)}{\partial \mathbf{p}} = 0 . \end{aligned} \quad (2.1)$$

С целью упрощения выкладок будем считать, что амплитуда Ландау не зависит от импульсов

$$F(\mathbf{r} - \mathbf{r}'; \mathbf{p}, \mathbf{p}') \equiv F(\mathbf{r} - \mathbf{r}') , \quad (2.2)$$

в связи с чем закон дисперсии квазичастиц (1.1) приобретает вид

$$\epsilon(\mathbf{r}, \mathbf{p}, f) = \epsilon_p + \frac{2}{V} \int d\mathbf{r}' F(\mathbf{r} - \mathbf{r}') \sum_{\mathbf{p}'} f(\mathbf{r}', \mathbf{p}', t) . \quad (2.3)$$

Учет в (2.2), (2.3) зависимости амплитуды Ландау от импульсов не привел бы к принципиальным затруднениям, сказавшимся, однако, на объеме выкладок и в малой степени отразившимся на их результатах.

Линеаризуя с учетом (2.3) кинетическое уравнение (2.1) около равновесного состояния (1.2) и переходя в линеаризованном уравнении к фурье-образам по времени и координатам, в соответствии с формулами

$$\begin{aligned} \delta f(\mathbf{r}, \mathbf{p}, t) = \\ = \frac{1}{(2\pi)^3} \int d\mathbf{k} \int_{-\infty}^{\infty} d\omega \exp(i\mathbf{k}\mathbf{r} - i\omega t) \delta f(\mathbf{k}, \mathbf{p}, \omega) , \\ F(\mathbf{r}) = \frac{1}{(2\pi)^3} \int d\mathbf{k} \exp(i\mathbf{k}\mathbf{r}) F(\mathbf{k}) \end{aligned} \quad (2.4)$$

получаем

$$\begin{aligned} \delta f(\mathbf{k}, \mathbf{p}, \omega) (-\omega + \mathbf{k}\mathbf{v}) - \\ - F_0 \mathbf{k} \frac{\partial f_0(\mathbf{p})}{\partial \mathbf{p}} \frac{2}{V} \sum_{\mathbf{p}'} \delta f(\mathbf{k}, \mathbf{p}', \omega) = 0 , \end{aligned} \quad (2.5)$$

где нами введены следующие обозначения:

$$\mathbf{v} \equiv \frac{\partial \epsilon(p)}{\partial \mathbf{p}} , \quad F_0 \equiv F(\mathbf{k} = 0) = \int d\mathbf{r} F(\mathbf{r}) , \quad (2.6)$$

причем в соответствии с (1.1) величина $\epsilon(p)$, входящая в определение \mathbf{v} в формуле (2.6), удовлетворяет соотношению

$$\epsilon(p) = \epsilon_p + F_0 \frac{2}{V} \sum_{\mathbf{p}'} f_0(p') , \quad (2.7)$$

представляющему собой уравнение самосогласования нормальной ферми-жидкости в пространственно-однородном случае. Наличие в формуле (2.5) величины F_0 , а не $F(\mathbf{k})$ (см. (2.3), (2.4)) отражает то обстоятельство, что нулевой звук представляет собой длинноволновые колебания с малыми волновыми векторами \mathbf{k} . Отметим также, что при учете зависимости амплитуды Ландау от импульсов (см. (1.4)) величина F_0 соответствует нулевой гармонике в разложении амплитуды Ландау по полиномам Лежандра вблизи поверхности Ферми в пространственно-однородном случае, т.е. совпадает с величиной, входящей в соотношение (1.6).

Решение уравнения (2.5) может быть представлено в виде (см. в этой связи, например, [4])

$$\delta f(\mathbf{k}, \mathbf{p}, \omega) = \delta A(\mathbf{p}, \mathbf{k}) \delta(\omega - \mathbf{k}\mathbf{v}) - F_0 \Xi^{-1}(\mathbf{k}, \omega) \times \\ \times \frac{\partial f_0(\epsilon)}{\partial \epsilon} \frac{\mathbf{k}\mathbf{v}}{\omega - \mathbf{k}\mathbf{v} + i\eta} \frac{2}{V} \sum_{\mathbf{p}'} \delta A(\mathbf{p}', \mathbf{k}) \delta(\omega - \mathbf{k}\mathbf{v}') , \quad (2.8)$$

где $\delta A(\mathbf{p}, \mathbf{k})$ — произвольная функция, на которую накладываются лишь ограничения, связанные с тем, что величина $\delta f(\mathbf{r}, \mathbf{p}, t)$, вычисленная в соответствии с (2.4), (2.8), должна быть малой по сравнению с равновесной функцией распределения (1.2). Величина $\Xi(\mathbf{k}, \omega)$ в (2.8), определяемая выражением

$$\Xi(\mathbf{k}, \omega) = 1 + F_0 \frac{2}{V} \sum_{\mathbf{p}} \frac{\partial f_0(\epsilon)}{\partial \epsilon} \frac{\mathbf{k}\mathbf{v}}{\omega - \mathbf{k}\mathbf{v} + i\eta} , \quad (2.9)$$

в случае заряженной ферми-жидкости представляет собой диэлектрическую проницаемость системы (см., например, [5]). Закон дисперсии нулевого звука, получающийся из уравнения $\Xi(\mathbf{k}, \omega_0) = 0$, имеет вид

$$\omega_0 = skv_F , \quad (2.10)$$

где k — модуль волнового вектора; v_F — значение скорости $\mathbf{v}(\epsilon) = \mathbf{v}(\epsilon(p))$ (см. (2.6)) на поверхности Ферми (ферми-поверхность предполагается изотропной), а величина s находится из уравнения

$$1 - \frac{1}{2} F_0 \times \\ \times \int_0^{\infty} d\epsilon v(\epsilon) \frac{\partial f(\epsilon)}{\partial \epsilon} \int_0^{\pi} \frac{d(\cos \theta) [v(\epsilon)/v_F] \cos \theta}{s - [v(\epsilon)/v_F] \cos \theta + i\eta} = 0 . \quad (2.11)$$

Параметр η в формулах (2.8), (2.9), (2.11), посредством которого учитывается затухание колебаний с законом дисперсии (2.10), после вычислений интегралов по импульсу должен устремляться к нулю со стороны положительных значений с учетом формулы

$$\frac{1}{z + i0} = P \frac{1}{z} - i\pi\delta(z)$$

(P — символ главного значения интеграла).

В интервале положительных значений амплитуды Ландау ($F_0 > 0$) уравнение (2.11) для определения параметра s имеет хорошо известный вид

$$1 + v(\mu) F_0 = v(\mu) F_0 \frac{s}{2} \ln \frac{s+1}{s-1} , \quad (2.12)$$

а декремент бесстолкновительного затухания нулевого звука становится заметным (оставаясь, тем не менее, малым по сравнению с частотой ω_0) только при малых $F_0 > 0$, $F_0 v(\mu) \ll 1$ [4].

В области отрицательных значений амплитуды Ландау, удовлетворяющей соотношению

$$-1 < v(\mu) F_0 < 0 ,$$

нулевой звук, как известно, сильно затухает, и параметр s становится комплексным с действительной и мнимой частями одного порядка величины. В этой области значений F_0 использовать уравнение (2.12) следует с определенной осторожностью (см. в этой связи, например, [6]). Однако можно утверждать, что при $F_0 v(\mu) \approx -1$ коэффициент s , определяющий дисперсию нулевого звука, становится малым по абсолютной величине и обращается в нуль при $F_0 v(\mu) = -1$, т.е. в точке нарушения критерия Померанчука. Следует отметить, что по причине малости параметра s при $v(\mu) F_0 \approx -1$, вообще говоря, необходимо в уравнении (2.12) учитывать тепловые поправки, которые могут иметь тот же порядок, что и величина $v(\mu) F_0 + 1$. Но, как нетрудно убедиться, учет этих поправок при $v(\mu) F_0 \geq -1$ не привносит ничего качественно нового, поскольку при данных условиях система устойчива вплоть до температуры равной нулю. Однако в случае нарушения критерия Померанчука, когда справедливо соотношение (1.6), учет в уравнении (2.12) тепловых добавок приводит к тому, что зануление параметра s происходит при отличной от нуля температуре. Подобное обращение в нуль некоторых термодинамических и кинетических характеристик при определенной (критической) температуре — типичное явление в теории фазовых переходов (см., например, [7]).

В связи с этим исследуем подробнее поведение закона дисперсии нулевого звука при условии нарушения критерия Померанчука, когда амплитуда Ландау F_0 удовлетворяет соотношению (1.6). Последнее обстоятельство позволяет предположить малость параметра s в уравнении (2.11). Разлагая второй член в уравнении (2.11) по малым s с учетом тепловых добавок, определяемых температурной зависимостью равновесной функции распределения, в главном приближении придем к следующему уравнению для определения параметра s :

$$1 + v(\mu) F_0 + \frac{\pi^2}{6} v''(\mu) F_0 T^2 = - i \frac{\pi}{2} s v(\mu) F_0 . \quad (2.13)$$

Из этого уравнения видно, что параметр s обращается в нуль при температуре T_0 , определяемой выражением

$$T_0^2 = -\frac{6}{\pi^2} \frac{1 + v(\mu) F_0}{F_0 v''(\mu)},$$

или, с учетом того, что $v(\mu) F_0 \approx -1$,

$$T_0^2 = \frac{6}{\pi^2} \frac{v(\mu)}{v''(\mu)} [1 + v(\mu) F_0], \quad (2.14)$$

где величина $v(\mu)$ по-прежнему определяется формулой (1.5). Положительность правой части выражения (2.14) определяется выполнением условия (1.6) и тем обстоятельством, что $v''(\mu) < 0$. Вблизи температуры T_0 величина s , полученная из уравнения (2.13) с учетом формулы (2.14), имеет вид

$$s = i \frac{2\pi}{3} \frac{v''(\mu)}{v(\mu)} T_0 (T - T_0), \quad (2.15)$$

т.е. в рассматриваемом приближении параметр s , определяющий, согласно (2.10), закон дисперсии нулевого звука, чисто мнимый. Из формулы (2.15) с учетом (2.10), (2.4) легко видеть, что при $T > T_0$ нулевой звук становится чисто затухающей модой ($\text{Im } s < 0$). Иными словами, при $T > T_0$, но, естественно, при выполнении основного условия применимости теории нормальной ферми-жидкости $T \ll \mu$ состояние системы остается устойчивым даже в случае нарушения критерия Померанчука.

При $T < T_0$ мнимая часть s становится положительной, что соответствует «раскачке» нуль-

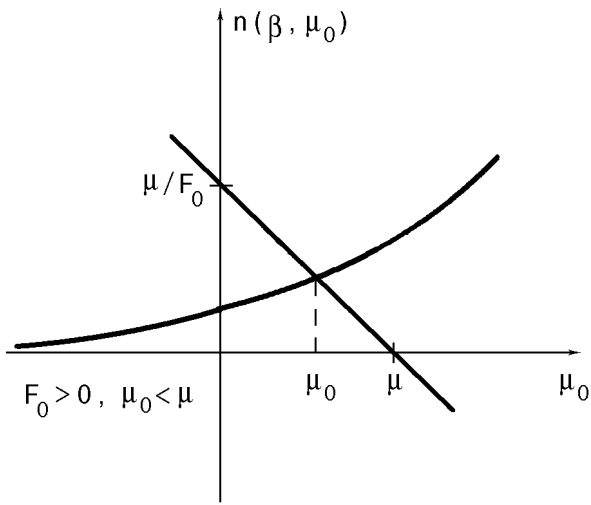


Рис. 1. К определению области существования нормальных решений уравнения (2.16) при $F_0 > 0$.

звука, т.е. состояние системы становится неустойчивым. Однако такого рода неустойчивость может, как уже отмечалось, свидетельствовать о переходе системы к новому устойчивому состоянию, т.е. о фазовом переходе с критической температурой T_0 , определяемой выражением (2.14).

Рассмотрим теперь вопрос об области существования в плоскости параметров T, μ решений уравнения самосогласования, отвечающих нормальному состоянию ферми-жидкости. Будем предполагать, что вращательная симметрия в импульсном пространстве не нарушена, т.е. энергия квазичастицы $\epsilon(p)$ и функция распределения $f_0(p)$ в уравнении (2.7) не зависят от направления импульса p . Случай, связанный с нарушением вращательной симметрии в импульсном пространстве, подробно изучен в работе [8].

Учитывая вышесказанное и вводя величину $\epsilon = \epsilon(p) - \epsilon_p$, представим уравнение (2.7) в виде

$$\epsilon = \frac{2F_0}{V} \sum_{p'} \{\exp \beta (\epsilon + \epsilon_{p'} - \mu) + 1\}^{-1}$$

или

$$n(\beta, \mu_0) = \frac{\mu - \mu_0}{F_0}, \quad (2.16)$$

где

$$n(\beta, \mu_0) = \frac{2}{V} \sum_{p'} \{\exp \beta (\epsilon_{p'} - \mu_0) + 1\}^{-1}, \quad (2.17)$$

$$\mu_0 = \mu - \epsilon.$$

При исследовании уравнения самосогласования (2.16) на существование решений, отвечающихциальному состоянию ферми-жидкости, рассмотрим два случая: $F_0 > 0$ и $F_0 < 0$. Замечая, что в соответствии с (2.7) $(dn(\beta, \mu_0))/d\mu_0 > 0$ и $n(\beta, -\infty) = 0$, найдем, что в случае положительных F_0 уравнение самосогласования (2.16) всегда имеет решение в плоскости параметров T и μ , отвечающее нормальному состоянию системы (см. рис. 1). В случае же отрицательных F_0 область существования нормального состояния (нормальные решения уравнения (2.16)) будет определяться неравенством (см. рис. 2)

$$-\frac{1}{F_0} > \frac{\partial n(\beta, \mu_0)}{\partial \mu_0}. \quad (2.18)$$

Производя низкотемпературное разложение для функции $n(\beta, \mu_0)$ при $\beta^{-1} = T \ll \mu$

$$n(\beta, \mu_0) = n(0, \mu_0) + \frac{\pi^2}{6} T^2 v'_0(\mu_0) + \dots, \quad (2.19)$$

где $v_0(\mu_0)$ — плотность состояний ферми-газа с законом дисперсии ϵ_p и химическим потенциалом μ_0 , и замечая, что

$$\frac{\partial n(\infty, \mu_0)}{\partial \mu_0} = v_0(\mu_0), \quad (2.20)$$

$$\frac{\partial n(\beta, \mu_0)}{\partial \mu_0} = v_0(\mu_0) + \frac{\pi^2}{6} T^2 v''_0(\mu_0),$$

перепишем условие существования нормальных решений (2.18) уравнения самосогласования (2.16) в случае $F_0 < 0$ в виде

$$\frac{1}{F_0} + v_0(\mu_0) < -\frac{\pi^2}{6} v''_0(\mu_0) T^2. \quad (2.21)$$

(Заметим, что плотность состояний $v_0(\mu_0) = v_0(\mu - \varepsilon) \equiv v(\mu)$ совпадает с плотностью состояний $v(\mu)$, соответствующей истинному закону дисперсии $\epsilon(p) = \epsilon_p + \varepsilon$, см. формулу (1.5).) Если $1/F_0 + v(\mu) = (1 + F_0 v(\mu))/F_0 < 0$, что соответствует выполнению критерия устойчивости Померанчука нормального состояния $1 + F_0 v(\mu) > 0$ при $l = 0$, то неравенство (2.21) всегда выполняется, поскольку $v''(\mu) < 0$ и, следовательно, нормальные решения существуют во всей области параметров μ и T . Если же $1/F_0 + v(\mu) = (1 + F_0 v(\mu))/F_0 > 0$, что соответствует нарушению критерия Померанчука $1 + F_0 v(\mu) < 0$ при $l = 0$, то, как видно из (2.21), нормальные реше-

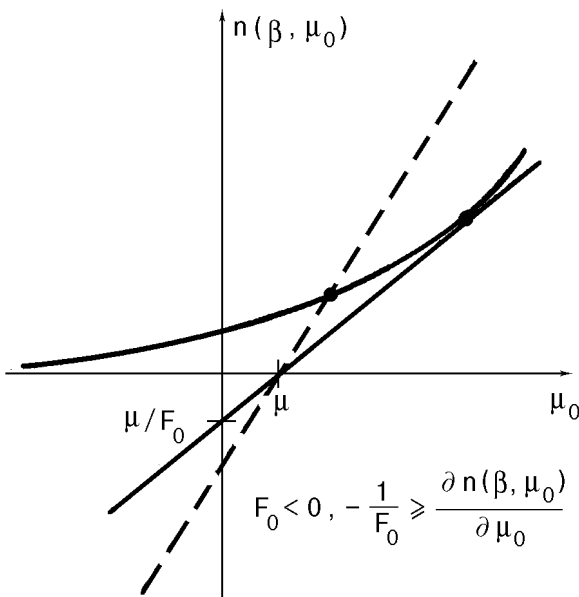


Рис. 2. К определению области существования нормальных решений уравнения (2.16) при $F_0 < 0$.

ния существуют в области температур, определяемых условием

$$T^2 > T_0^2 = -\frac{6}{\pi^2} \frac{1 + F_0 v(\mu)}{F_0 v''(\mu)} > 0. \quad (2.22)$$

Подчеркнем, что при температурах, не удовлетворяющих условию (2.22), уравнение (2.16) не имеет решений. Таким образом, термодинамический и кинетический критерии устойчивости нормального состояния совпадают.

Проиллюстрируем вышеизложенное на конкретном примере квадратичного закона дисперсии квазичастиц $\epsilon_p = p^2/2m$. В этом случае плотность энергетических состояний (1.5) дается выражением

$$v_0(\mu_0) = \frac{m \sqrt{2m \mu_0}}{\pi^2}, \quad (2.23)$$

а уравнение самосогласования (2.16) с учетом низкотемпературного разложения (2.19), а также (2.20) и (2.23) приобретает вид

$$\frac{2m \sqrt{2m}}{3\pi^2} \mu_0^{3/2} + \frac{\pi^2}{6} T^2 \frac{m \sqrt{2m}}{2\pi^2 \mu_0^{1/2}} = \frac{\mu - \mu_0}{F_0}. \quad (2.24)$$

Условие, начиная с которого появляются решения уравнения (2.16) («точка касания», см. рис. 2), можно представить в виде

$$\frac{1}{F_0} + \frac{m \sqrt{2m \mu_0}}{\pi^2} = \frac{\pi^2}{6} T^2 \frac{m \sqrt{2m}}{2\pi^2 \mu_0^{3/2}}. \quad (2.25)$$

Вводя вместо величин μ , μ_0 и T безразмерные величины $\tilde{\mu}$, $\tilde{\mu}_0$ и \tilde{T}

$$\mu = \frac{\pi^4}{m^3 F_0^2} \tilde{\mu}, \quad \mu_0 = \frac{\pi^4}{m^3 F_0^2} \tilde{\mu}_0, \quad T = \frac{\pi^4}{m^3 F_0^2} \tilde{T},$$

перепишем уравнения (2.24) и (2.25) в следующем простом виде:

$$\tilde{\mu} = \tilde{\mu}_0 - \frac{2\sqrt{2}}{3} \tilde{\mu}_0^{3/2} - \frac{\pi^2}{6\sqrt{2}} \frac{\tilde{T}^2}{\tilde{\mu}_0^{1/2}}, \quad (2.26)$$

$$1 - \sqrt{2\tilde{\mu}_0} = -\frac{\pi^2}{12\sqrt{2}} \frac{\tilde{T}^2}{\tilde{\mu}_0^{3/2}}. \quad (2.27)$$

Рассмотрим случай $T = 0$. Уравнение самосогласования (2.26) $\tilde{\mu} = \tilde{\mu}_0 - (2\sqrt{2}/3)\tilde{\mu}_0^{3/2}$ имеет решение только при $\tilde{\mu} \leq 1/6$. Точка касания (см. рис. 2) определяется уравнением (2.27), из которого следует $\tilde{\mu}_0 = 1/2$. Поэтому в этой точке $\tilde{\mu} = 1/6$. Таким образом, при $T = 0$ область сущес-

ствования решения уравнения самосогласования (2.26) определяется неравенством $\tilde{\mu} \leq 1/6$.

В случае $T \neq 0$ ($\tilde{T} \ll 1$) решение уравнений (2.26), (2.27) имеет вид

$$\tilde{\mu}_0 = \frac{1}{2} + \frac{\pi^2}{6} \tilde{T}^2, \quad \tilde{\mu} = \frac{1}{6} - \frac{\pi^2}{6} \tilde{T}^2.$$

Последнее уравнение определяет кривую в плоскости параметров $\tilde{\mu}$, \tilde{T} , отделяющую область, в которой уравнение самосогласования (2.16) имеет решение, от области, в которой решения не существуют. Поскольку при $T = 0$ решение существует при $\tilde{\mu} \leq 1/6$, то $\tilde{\mu} < 1/6 - \pi^2 \tilde{T}^2/6$ представляет собой область существования нормальных решений при $\tilde{T} \ll 1$. Как мы увидим далее, область $\tilde{\mu} > 1/6 - \pi^2 \tilde{T}^2/6$ соответствует пространственно-периодическим решениям при $\tilde{T} \ll 1$.

3. Фазовый переход, связанный с нарушением трансляционной инвариантности

Настоящий раздел посвящен рассмотрению нарушения критерия устойчивости Померанчука (см. (1.6)) для гармоники $l = 0$. Нарушение этого критерия будет связано с фазовым переходом ферми-жидкости в состояние со спонтанно нарушенной трансляционной симметрией, а именно в состояние с пространственно-периодической структурой.

Уравнение самосогласования для определения пространственно-периодических решений получается из уравнения (1.1) при подстановке в него ферми-дираковской функции распределения с пространственно-неоднородным законом дисперсии

$$\epsilon(\mathbf{r}, \mathbf{p}) = \epsilon_{\mathbf{p}} + \frac{2}{V} \sum_{\mathbf{p}'} \int d^3 r' F(\mathbf{r} - \mathbf{r}'; \mathbf{p}, \mathbf{p}') f_0(\mathbf{p}', \mathbf{r}'), \quad (3.1)$$

$$f_0(\mathbf{r}, \mathbf{p}) = \{\exp \beta(\epsilon(\mathbf{r}, \mathbf{p}) - \mu) + 1\}^{-1}.$$

Решение уравнений (3.1) будем искать в виде периодических функций по \mathbf{r}

$$\epsilon(\mathbf{r}, \mathbf{p}) = \sum_{\mathbf{q}} \epsilon_{\mathbf{q}}(\mathbf{p}) e^{i\mathbf{qr}} = \epsilon_0(\mathbf{p}) + \tilde{\epsilon}(\mathbf{r}, \mathbf{p}),$$

где

$$\tilde{\epsilon}(\mathbf{r}, \mathbf{p}) = \sum_{\mathbf{q} \neq 0} \epsilon_{\mathbf{q}}(\mathbf{p}) e^{i\mathbf{qr}}, \quad \epsilon_0(\mathbf{p}) = \langle \epsilon(\mathbf{r}, \mathbf{p}) \rangle$$

и скобки $\langle \dots \rangle$ означают усреднение по периодам. Учитывая это, уравнения (3.1) можно переписать в виде

$$\begin{aligned} \epsilon_0(\mathbf{p}) &= \epsilon_{\mathbf{p}} + \\ &+ \frac{2}{V} \sum_{\mathbf{p}'} F_0(\mathbf{p}, \mathbf{p}') \left(\frac{1}{\exp \{\beta(\epsilon_0(\mathbf{p}') + \tilde{\epsilon}(\mathbf{r}', \mathbf{p}') - \mu)\} + 1} \right)_0 \end{aligned} \quad (3.2)$$

$$\begin{aligned} \tilde{\epsilon}_{\mathbf{q}}(\mathbf{p}) &= \\ &= \frac{2}{V} \sum_{\mathbf{p}'} F_{\mathbf{q}}(\mathbf{p}, \mathbf{p}') \left(\frac{1}{\exp \{\beta(\epsilon_0(\mathbf{p}') + \tilde{\epsilon}(\mathbf{r}', \mathbf{p}') - \mu)\} + 1} \right)_{\mathbf{q}} \\ &\quad \mathbf{q} \neq 0, \end{aligned} \quad (3.3)$$

где $F_{\mathbf{q}}(\mathbf{p}, \mathbf{p}') = \int d^3 r F(\mathbf{p}, \mathbf{p}'; \mathbf{r}) e^{i\mathbf{qr}}$ — фурье-компоненты амплитуды Ландау. Предположим, что зависимость амплитуды $F_{\mathbf{q}}(\mathbf{p}, \mathbf{p}')$ от направления векторов \mathbf{p} и \mathbf{p}' определяется только их скалярным произведением $\mathbf{p}\mathbf{p}'$. В этом случае решение уравнения (3.3) можно искать в виде, в котором величина $\epsilon_{\mathbf{q}}(\mathbf{p}) \equiv \epsilon_{\mathbf{q}}(\mathbf{p})$ не зависит от направления вектора \mathbf{p} . Кроме того, будем предполагать, что функции $F_{\mathbf{q}}(\mathbf{p}, \mathbf{p}')$ медленно изменяются по \mathbf{p} и \mathbf{p}' , вследствие чего величина $\tilde{\epsilon}_{\mathbf{q}}(p)$ также медленно изменяется по переменной p . Поскольку функция $(\exp \{\beta(\epsilon_0(p') + \tilde{\epsilon}(r', p') - \mu)\} + 1)^{-1}$ при $q \neq 0$ имеет резкий максимум при $p' = p_F$, то в уравнении (3.3) в величине $F_{\mathbf{q}}(\mathbf{p}, \mathbf{p}')$ можно положить $p' = p_F$, в результате чего получим

$$\tilde{\epsilon}_{\mathbf{q}}(p) = \frac{F_{\mathbf{q}}(p, p_F)}{F_{\mathbf{q}}(p_F, p_F)} \tilde{\epsilon}_{\mathbf{q}}(p_F), \quad (3.4)$$

$$F_{\mathbf{q}}(p, p') \equiv \frac{1}{4\pi} \int dO F_{\mathbf{q}}(\mathbf{p}, \mathbf{p}'),$$

где $\tilde{\epsilon}_{\mathbf{q}}(p_F) \equiv \tilde{\epsilon}_{\mathbf{q}}$ удовлетворяет уравнению

$$\begin{aligned} \tilde{\epsilon}_{\mathbf{q}} &= F_{\mathbf{q}} \{n(\beta, \mu - \tilde{\epsilon}(r, p))\}_{\mathbf{q}}, \\ F_{\mathbf{q}} &= F_{\mathbf{q}}(p_F, p_F), \quad \mathbf{q} \neq 0, \end{aligned} \quad (3.4a)$$

а функция $n(\beta, \mu)$ определяется выражением

$$n(\beta, \mu) = \frac{2}{V} \sum_{\mathbf{p}} [\exp \beta(\epsilon_0(p) - \mu) + 1]^{-1}. \quad (3.5)$$

Для простоты ограничимся в дальнейшем случаем одномерных периодических структур в трехмерной ферми-жидкости. Предположим, что возникающая при этом периодическая структура имеет период вдоль оси x равный a , так что

$$\tilde{\epsilon}_{\mathbf{q}}(p) = \delta_{q_y, 0} \delta_{q_x, 0} \tilde{\epsilon}_q(p), \quad q_x = q = \frac{2\pi n}{a}$$

(n – целые числа). В этом случае уравнение (3.4а) приобретает вид

$$\tilde{\varepsilon}_q = F_q \{n(\beta, \mu - \tilde{\varepsilon}(x, p))\}_q, \quad q \neq 0, \quad (3.6)$$

где

$$F_q = \int d^3r e^{iqx} F_0(p_F, p_F; \mathbf{r}).$$

Уравнение (3.6), полученное в приближении медленности изменения амплитуды $F(\mathbf{p}, \mathbf{p}')$ по \mathbf{p} и \mathbf{p}' , полностью соответствует модели (2.2), которая использовалась нами ранее при анализе свойств нормального состояния.

Перейдем теперь к решению уравнения (3.6) вблизи точки фазового перехода, когда величина $\tilde{\varepsilon}_q$, представляющая собой параметр порядка, является малой. Раскладывая уравнение (3.6) по степеням $\tilde{\varepsilon}(x)$, а также по степеням $(\beta - \beta_c)$ с учетом (3.5) ($\beta_c^{-1} \equiv T_c$ – температура перехода), получаем

$$\begin{aligned} \tilde{\varepsilon}_q = F_q & \left(-\frac{\partial n(\beta_c, \mu)}{\partial \mu} \tilde{\varepsilon}_q - \frac{\partial^2 n(\beta_c, \mu)}{\partial \beta_c \partial \mu} (\beta - \beta_c) \tilde{\varepsilon}_q + \right. \\ & + \frac{1}{2} \frac{\partial^2 n(\beta_c, \mu)}{\partial \mu^2} (\tilde{\varepsilon}^2(x))_q - \frac{1}{6} \frac{\partial^3 n(\beta_c, \mu)}{\partial \mu^3} (\tilde{\varepsilon}^3(x))_q + \dots \left. \right). \end{aligned} \quad (3.7)$$

Решение этого уравнения будем искать в виде $\tilde{\varepsilon}_q = \tilde{\varepsilon}_q^{(0)} + \tilde{\varepsilon}_q^{(1)} + \dots$, причем

$$\tilde{\varepsilon}_q^0 = \tilde{\varepsilon}_q^{(0)} \{ \Delta(q - q_0) + \Delta(q + q_0) \} \quad (3.8)$$

($\Delta(q)$ – символ Кронекера), тогда в главном приближении имеем

$$1 + F_{q_0} \frac{\partial n(\beta_c, \mu)}{\partial \mu} = 0. \quad (3.9)$$

Последнее уравнение определяет температуру перехода $\beta_c = \beta_c(q_0)$. Производя в нем низкотемпературное разложение (2.19), получаем

$$T_c^2 = -\frac{6}{\pi^2} \frac{1 + F_{q_0} v(\mu)}{F_{q_0} v''(\mu)}. \quad (3.10)$$

Поскольку $v''(\mu) < 0$, то, как легко видеть, неравенство $T_c^2 > 0$ удовлетворяется только в случае справедливости соотношения

$$1 + v(\mu) F_{q_0} < 0,$$

отражающего нарушение критерия устойчивости равновесного состояния нормальной фермижидкости.

Найдем теперь выражение для параметра порядка $\tilde{\varepsilon}$. Замечая, что

$$\begin{aligned} (\tilde{\varepsilon}(x))_q &= \tilde{\varepsilon}_q, \\ (\tilde{\varepsilon}^2(x))_q &= \sum_{q', q''} \tilde{\varepsilon}_{q'} \tilde{\varepsilon}_{q''} \Delta(q' + q'' - q), \\ (\tilde{\varepsilon}^3(x))_q &= \sum_{q', q'', q'''} \tilde{\varepsilon}_{q'} \tilde{\varepsilon}_{q''} \tilde{\varepsilon}_{q'''} \Delta(q' + q'' + q''' - q), \end{aligned}$$

а также учитывая то обстоятельство, что в главном неисчезающем приближении справедливы соотношения

$$(\tilde{\varepsilon}^2(x))_{q_0} \approx 2\tilde{\varepsilon}_{q_0}^{(0)} \tilde{\varepsilon}_{q_0}^{(1)}, \quad (\tilde{\varepsilon}^3(x))_{q_0} \approx 3(\tilde{\varepsilon}_{q_0}^{(0)})^3,$$

перепишем уравнение (3.7) с учетом (3.8), (3.9) при $q = q_0$ в виде

$$\begin{aligned} & -\frac{\partial^2 n(\beta_c, \mu)}{\partial \beta_c \partial \mu} (\beta - \beta_c) \tilde{\varepsilon}_{q_0}^{(0)} + \frac{\partial^2 n(\beta_c, \mu)}{\partial \mu^2} \tilde{\varepsilon}_{q_0}^{(0)} \tilde{\varepsilon}_{2q_0}^{(1)} - \\ & - \frac{1}{2} \frac{\partial^3 n(\beta_c, \mu)}{\partial \mu^3} (\tilde{\varepsilon}_{q_0}^{(0)})^3 = 0. \end{aligned} \quad (3.11)$$

Легко видеть, что наряду с уравнением (3.11) необходимо выписать также уравнение (3.7) при $q \neq \pm q_0$:

$$\tilde{\varepsilon}_q = F_q \left(-\frac{\partial n(\beta_c, \mu)}{\partial \mu} \tilde{\varepsilon}_q + \frac{1}{2} \frac{\partial^2 n(\beta_c, \mu)}{\partial \mu^2} (\tilde{\varepsilon}^2(x))_q \right).$$

Полагая в этом уравнении $q = 2q_0$, найдем

$$\begin{aligned} \tilde{\varepsilon}_{2q_0} &= F_{2q_0} \times \\ & \times \left(-\frac{\partial n(\beta_c, \mu)}{\partial \mu} \tilde{\varepsilon}_{2q_0} + \frac{1}{2} \frac{\partial^2 n(\beta_c, \mu)}{\partial \mu^2} (\tilde{\varepsilon}^2(x))_{2q_0} \right). \end{aligned} \quad (3.12)$$

Замечая далее, что в главном приближении

$$(\tilde{\varepsilon}^2(x))_{2q_0} \approx (\tilde{\varepsilon}_{q_0}^{(0)})^2, \quad \tilde{\varepsilon}_{2q_0} \approx \tilde{\varepsilon}_{2q_0}^{(1)},$$

перепишем уравнение (3.12) в виде

$$\tilde{\varepsilon}_{2q_0}^{(1)} = F_{2q_0} \left(-\frac{\partial n(\beta_c, \mu)}{\partial \mu} \tilde{\varepsilon}_{2q_0}^{(1)} + \frac{1}{2} \frac{\partial^2 n(\beta_c, \mu)}{\partial \mu^2} (\tilde{\varepsilon}_{q_0}^{(0)})^2 \right),$$

откуда

$$\tilde{\varepsilon}_{2q_0}^{(1)} = \frac{F_{2q_0}}{2} \frac{\partial^2 n(\beta_c, \mu)}{\partial \mu^2} \left(1 + F_{2q_0} \frac{\partial n(\beta_c, \mu)}{\partial \mu} \right)^{-1} (\tilde{\varepsilon}_{q_0}^{(0)})^2 .$$

Подставляя найденное выражение для $\tilde{\varepsilon}_{2q_0}^{(1)}$ в (3.11), получаем уравнение для определения $\tilde{\varepsilon}_{q_0}^{(0)}$:

$$\begin{aligned} & \frac{F_{2q_0}}{2} \left(\frac{\partial^2 n(\beta_c, \mu)}{\partial \mu^2} \right)^2 \left(1 + F_{2q_0} \frac{\partial n(\beta_c, \mu)}{\partial \mu} \right)^{-1} (\tilde{\varepsilon}_{q_0}^{(0)})^2 - \\ & - \frac{1}{2} \frac{\partial^3 n(\beta_c, \mu)}{\partial \mu^3} (\tilde{\varepsilon}_{q_0}^{(0)})^2 = \frac{\partial^2 n(\beta_c, \mu)}{\partial \beta_c \partial \mu} (\beta - \beta_c) , \end{aligned} \quad (3.13)$$

откуда с учетом низкотемпературного разложения (2.19), а также (3.9) имеем

$$\tilde{\varepsilon}_{q_0}^{(0)} = A(2q_0) \sqrt{1 - T/T_c} , \quad (3.14)$$

где

$$\begin{aligned} A(2q_0) &= \\ &= \left\{ \frac{2\pi^2}{3} \frac{T_c^2 v''(\mu)}{v''(\mu) - F_{2q_0}(v'(\mu))^2 (1 - F_{2q_0}/F_{q_0})^{-1}} \right\}^{-1/2} . \end{aligned}$$

Величина же $\tilde{\varepsilon}_{q_0}(p)$ определяется выражением (3.4).

Заметим теперь, что в области малых q_0 развитая нами теория возмущений становится неприменимой. Это видно уже из того, что величина $1 - F_{2q_0}/F_{q_0}$, входящая в знаменатель уравнения (3.13) и формулы (3.14), обращается в нуль при $q_0 \rightarrow 0$. Поэтому случай малых q_0 , соответствующий большому периоду изучаемых пространственно-периодических структур, требует отдельного рассмотрения. Поскольку при большом периоде решетки все величины медленно меняются с изменением x (малые градиенты), задачу удобнее рассматривать в координатном представлении.

Будем исходить из уравнения

$$\begin{aligned} \tilde{\varepsilon}(x) &= \\ &= \int dx' F(x - x') \{n(\beta, \mu - \tilde{\varepsilon}(x')) - \langle n(\beta, \mu - \tilde{\varepsilon}(x')) \rangle\}, \\ \tilde{\varepsilon}(p, x) &\equiv \tilde{\varepsilon}(x) , \end{aligned} \quad (3.15)$$

где

$$F(x - x') = \int F_q e^{iq(x-x')} dq$$

и скобки $\langle \dots \rangle$ означают усреднение величины по периоду решетки, а величина $n(\beta, \mu - \tilde{\varepsilon}(x))$ определяется формулой (3.5). Это уравнение эквивалентно уравнениям (3.2) и (3.3), если учесть, что $\langle \tilde{\varepsilon}(x) \rangle = 0$. Замечая, что величина $F(x - x')$ имеет резкий максимум при $x = x'$, а также учитывая медленность изменения $\tilde{\varepsilon}(x)$, связанную с большим периодом решетки, запишем уравнение (3.15) в виде

$$\begin{aligned} \tilde{\varepsilon}(x) &= F_0 \{n(\beta, \mu - \tilde{\varepsilon}(x)) - \langle n(\beta, \mu - \tilde{\varepsilon}(x)) \rangle\} + \\ &+ F_2 \frac{\partial^2 n(\beta, \mu - \tilde{\varepsilon}(x))}{\partial x^2} , \end{aligned} \quad (3.16)$$

где

$$\int dx' F(x - x') = F_0 , \quad (3.17)$$

$$\frac{1}{2} \int dx' F(x - x')(x - x')^2 = F_2$$

(при получении уравнения (3.16) мы учили четность функции $F(x - x')$). Производя в последнем уравнении разложение по степеням $\tilde{\varepsilon}(x)$ и $(\beta - \beta_0)$ (β_0 соответствует температуре перехода при $q = 0$), а также учитывая уравнение для определения β_0

$$1 + F_0 \frac{\partial n(\beta_0, \mu)}{\partial \mu} = 0 \quad (3.18)$$

и то, что $\langle \tilde{\varepsilon}(x) \rangle = 0$, получаем

$$\begin{aligned} F_0 \left\{ -(\beta - \beta_0) \frac{\partial^2 n(\beta_0, \mu)}{\partial \beta \partial \mu} \tilde{\varepsilon}(x) + \right. \\ \left. + \frac{1}{2} \frac{\partial^2 n(\beta_0, \mu)}{\partial \mu^2} (\tilde{\varepsilon}^2(x) - \langle \tilde{\varepsilon}^2(x) \rangle) \right\} - \\ - F_2 \frac{\partial n(\beta_0, \mu)}{\partial \mu} \frac{\partial^2 \tilde{\varepsilon}(x)}{\partial x^2} = 0 . \end{aligned} \quad (3.19)$$

Как было показано выше, уравнение для определения температуры перехода как функции q имеет вид

$$1 + F_q \frac{\partial n(\beta_c, \mu)}{\partial \mu} = 0 .$$

Учитывая, что $F_q = F(q^2)$, а также, что $F'(0) = -F_2$, $F_0 = F(0)$ (см. (3.16), (3.17)), перепишем это уравнение в области малых q в виде

$$1 + (F_0 - F_2 q^2) \times \\ \times \left(\frac{\partial n(\beta_0, \mu)}{\partial \mu} + (\beta_c - \beta_0) \frac{\partial^2 n(\beta_0, \mu)}{\partial \beta \partial \mu} \right) = 0$$

или с учетом (3.18)

$$\beta_c - \beta_0 = q^2 \frac{F_2}{F_0} \frac{\partial n(\beta_0, \mu)}{\partial \mu} / \frac{\partial^2 n(\beta_0, \mu)}{\partial \beta \partial \mu} = \\ = -q^2 \frac{F_2}{F_0^2} / \frac{\partial^2 n(\beta_0, \mu)}{\partial \beta \partial \mu}. \quad (3.20)$$

Это уравнение определяет температуру перехода как функцию q в области малых q . Делая естественное предположение, что $\beta_0 < \beta_c$ (длинно-периодическая структура ответвляется при более высоких температурах), и учитывая, что $(\partial^2 n(\beta_0, \mu)) / \partial \beta \partial \mu > 0$ (см. низкотемпературное разложение (2.19)), имеем $F_2 < 0$, что соответствует притяжению между фермионами. Уравнение (3.19), служащее для определения величины $\tilde{\epsilon}(x)$, можно переписать в другом, более удобном для дальнейшего рассмотрения виде. С этой целью введем величину $\epsilon(x) = -\tilde{\epsilon}(x)$, которую можно рассматривать как поправку к химическому потенциалу (см. (3.2), (3.3)). Тогда уравнение (3.19) примет вид

$$\frac{\partial^2 \epsilon(x)}{\partial x^2} + g(\epsilon(x)) = 0, \quad (3.21)$$

$$g(\epsilon(x)) = A\epsilon(x) + B(\epsilon^2(x) - \langle \epsilon^2(x) \rangle),$$

где

$$A = -\frac{F_0^2}{F_2} (\beta - \beta_0) \frac{\partial^2 n(\beta_0, \mu)}{\partial \beta_0 \partial \mu}, \\ B = -\frac{1}{2} \frac{F_0^2}{F_2} \frac{\partial^2 n(\beta_0, \mu)}{\partial \mu^2}. \quad (3.22)$$

Будем искать периодические решения уравнения (3.21), из которого следует, что

$$\epsilon' = \pm \sqrt{2(E - U(\epsilon))}, \quad x = \pm \int \frac{d\epsilon}{\sqrt{2(E - U(\epsilon))}}, \quad (3.23)$$

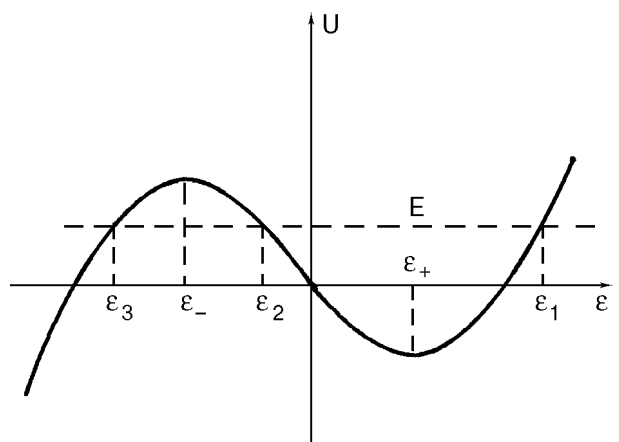


Рис. 3. Схематическая зависимость «потенциала» U от параметра порядка ϵ .

где

$$U(\epsilon) = \int_0^\epsilon g(\epsilon) d\epsilon = \frac{1}{3} B\epsilon^3 + \frac{1}{2} A\epsilon^2 - Bd^2\epsilon, \\ d^2 = \langle \epsilon^2(x) \rangle$$

и E — постоянная интегрирования. Кубический многочлен $E - U(\epsilon)$ может быть представлен в виде

$$E - U(\epsilon) = E - \frac{1}{3} B\epsilon^3 - \frac{1}{2} A\epsilon^2 + Bd^2\epsilon = \\ = -\frac{1}{3} B(\epsilon - \epsilon_1)(\epsilon - \epsilon_2)(\epsilon - \epsilon_3) > 0. \quad (3.24)$$

Точки экстремумов функции $U(\epsilon)$ определяются формулами

$$\epsilon_\pm = -\frac{A}{2B} \pm \sqrt{A^2/4B^2 + d^2}, \quad \epsilon_+ > 0, \quad \epsilon_- < 0.$$

На рис. 3 схематически представлен график функции $U(\epsilon)$ (мы учли при этом, что $B > 0$). Поскольку $E - U > 0$, периодическим решениям уравнения (3.21) соответствует область $\epsilon_2 < \epsilon < \epsilon_1$, а так как $\langle \epsilon \rangle = 0$, то $\epsilon_2 < 0$, $\epsilon_1 > 0$. В соответствии со сказанным имеем

$$x(\epsilon) = - \int_{\epsilon}^{\epsilon_1} \frac{d\epsilon}{\sqrt{2(E - U(\epsilon))}}, \quad x < 0, \quad (3.25) \\ x(\epsilon) = \int_{\epsilon}^{\epsilon_1} \frac{d\epsilon}{\sqrt{2(E - U(\epsilon))}}, \quad x > 0$$

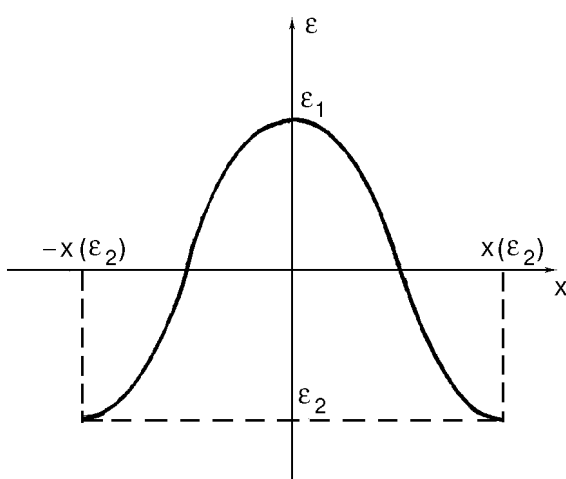


Рис. 4. Зависимость параметра порядка ε от координаты x .

(см. рис. 4, на котором изображен один период функции $\varepsilon(x)$). Период функции $\varepsilon(x)$ определяется формулой

$$X = 2 \int_{\varepsilon_2}^{\varepsilon_1} \frac{d\varepsilon}{\sqrt{2(E - U(\varepsilon))}} = 2x(\varepsilon_2) . \quad (3.26)$$

Подставляя в выражение (3.25) для $x(\varepsilon)$ при $x > 0$ выражение (3.24) для $E - U(\varepsilon)$ и преобразовывая соответствующий интеграл, находим

$$x(\varepsilon) = \sqrt{6/B} \frac{1}{\sqrt{\varepsilon_1 - \varepsilon_3}} \int_0^\varphi \frac{d\varphi}{\sqrt{1 - k^2 \sin^2 \varphi}} ,$$

$$k^2 = \frac{\varepsilon_1 - \varepsilon_2}{\varepsilon_1 - \varepsilon_3} , \quad \varphi = \arcsin \sqrt{(\varepsilon_1 - \varepsilon)/(\varepsilon_1 - \varepsilon_2)} .$$

Принимая во внимание определение эллиптического интеграла первого рода

$$\mathcal{F}(k, \varphi) = \int_0^\varphi \frac{d\varphi}{\sqrt{1 - k^2 \sin^2 \varphi}} , \quad (3.27)$$

представим $x(\varepsilon)$ в виде

$$x(\varepsilon) = \sqrt{6/B} \frac{1}{\sqrt{\varepsilon_1 - \varepsilon_3}} \mathcal{F}(k, \varphi) . \quad (3.28)$$

Тогда, согласно (3.26), имеем

$$X = \sqrt{6/B} \frac{2}{\sqrt{\varepsilon_1 - \varepsilon_3}} \mathcal{F}(k) , \quad \mathcal{F}(k) \equiv \mathcal{F}(k, \pi/2) . \quad (3.29)$$

Найдем теперь величины ε_1 , ε_2 , ε_3 . С этой целью заметим, что

$$\langle \varepsilon(x) \rangle = \frac{1}{X} \int_0^{X/2} \varepsilon(x) dx + \frac{1}{X} \int_{X/2}^X \varepsilon(x) dx = \frac{2}{X} \int_0^{X/2} \varepsilon(x) dx ,$$

или, переходя к интегрированию по ε ,

$$\langle \varepsilon(x) \rangle = \frac{2}{X} \int_{\varepsilon_2}^{\varepsilon_1} \varepsilon \frac{d\varepsilon}{\sqrt{2(E - U)}} . \quad (3.30)$$

Из уравнения (3.21) следует, что $\langle \varepsilon \rangle = 0$. Поэтому преобразовывая входящий в (3.30) интеграл с учетом (3.24), получаем

$$\int_0^{\pi/2} d\varphi \frac{\varepsilon_1 - (\varepsilon_1 - \varepsilon_2) \sin^2 \varphi}{\sqrt{1 - k^2 \sin^2 \varphi}} = 0 , \quad k^2 = \frac{\varepsilon_1 - \varepsilon_2}{\varepsilon_1 - \varepsilon_3} .$$

Используя далее определение эллиптического интеграла второго рода

$$E(k) = \int_0^{\pi/2} d\varphi \sqrt{1 - k^2 \sin^2 \varphi} , \quad (3.31)$$

найдем

$$E(k) + \left(k^2 \frac{\varepsilon_1}{\varepsilon_1 - \varepsilon_3} - 1 \right) \mathcal{F}(k) = 0 .$$

Полученное выражение можно также переписать в виде

$$\frac{\varepsilon_1}{\varepsilon_1 - \varepsilon_2} = \frac{\mathcal{F}(k) - E(k)}{k^2 \mathcal{F}(k)} , \quad (3.32)$$

$$\frac{\varepsilon_1}{\varepsilon_1 - \varepsilon_3} = \frac{\mathcal{F}(k) - E(k)}{\mathcal{F}(k)} .$$

Эти формулы показывают, что отношения $\varepsilon_1/\varepsilon_2$, $\varepsilon_1/\varepsilon_3$, $\varepsilon_2/\varepsilon_3$ выражаются только через параметр k . Найдем теперь выражение для величины ε_1 в терминах k . С этой целью заметим, что, согласно (3.23),

$$\varepsilon_1 + \varepsilon_2 + \varepsilon_3 = -\frac{3}{2} \frac{A}{B} \equiv \gamma(\beta - \beta_0) , \quad (3.33)$$

где в соответствии с (3.22)

$$\gamma = -3 \frac{\partial^2 n(\beta_0, \mu)}{\partial \beta \partial \mu} / \frac{\partial^2 n(\beta_0, \mu)}{\partial \mu^2}. \quad (3.34)$$

Используя далее формулы (3.32), получаем выражение для величины ϵ_1

$$\epsilon_1 = \frac{\gamma(\beta - \beta_0)}{3 - (1 + k^2) \mathcal{F}(k)/[\mathcal{F}(k) - E(k)]}. \quad (3.35)$$

Учитывая (3.35) и (3.32), легко найти величину $1/\sqrt{\epsilon_1 - \epsilon_3}$, входящую в выражение для периода (3.29):

$$\frac{1}{\sqrt{\epsilon_1 - \epsilon_3}} = \left[\left(3 \frac{\mathcal{F}(k) - E(k)}{\mathcal{F}(k)} - k^2 - 1 \right) / \gamma(\beta - \beta_0) \right]^{1/2}. \quad (3.36)$$

Замечая, что $k^2 = (\epsilon_1 - \epsilon_2)/(\epsilon_1 - \epsilon_3)$, и вводя новую переменную $\epsilon \equiv \epsilon_1 - \epsilon_3$, получаем

$$\epsilon_1 - \epsilon_2 = \epsilon k^2, \quad \epsilon_1 = \epsilon \frac{\mathcal{F}(k) - E(k)}{\mathcal{F}(k)}$$

или

$$\begin{aligned} \epsilon_1 &= \epsilon \left(1 - \frac{E(k)}{\mathcal{F}(k)} \right), \\ \epsilon_2 &= \epsilon \left(1 - k^2 - \frac{E(k)}{\mathcal{F}(k)} \right), \\ \epsilon_3 &= -\epsilon \frac{E(k)}{\mathcal{F}(k)}. \end{aligned} \quad (3.37)$$

Поскольку $\epsilon > 0$, $\gamma(\beta - \beta_0) < 0$ (см. (3.33), (3.34)), то, согласно (3.36), должно выполняться неравенство $3[(\mathcal{F} - E)/\mathcal{F}] - k^2 - 1 < 0$, откуда следует, что $k < k_0 \approx 0,95$.

Период X функции $\epsilon(x)$ связан с величиной q формулой

$$X = \frac{2\pi}{q} = 2 \sqrt{6/B} \frac{1}{\sqrt{\epsilon}} \mathcal{F}(k). \quad (3.38)$$

Переменные k , ϵ могут быть взяты в качестве независимых термодинамических переменных вместо переменных β , q . Фазовая кривая в пространстве β , q , разделяющая область нормальной фазы и пространственно-периодической фазы, дается формулой (3.20). Как легко видеть из формул (3.36), (3.37) с учетом (3.27), (3.31), эта же кривая в пространстве переменных k , ϵ имеет вид

$$k = 0. \quad (3.39)$$

Найдем теперь выражение для $\epsilon(x)$. Из определений (3.27) и (3.29) функций $\mathcal{F}(k, \phi)$ и $\mathcal{F}(k)$ следует соотношение

$$\mathcal{F}(k, \phi + \pi) = 2\mathcal{F}(k) + \mathcal{F}(k, \phi). \quad (3.40)$$

Поскольку $\mathcal{F}(k, \phi)$ монотонно возрастающая функция ϕ , можно ввести обратную функцию $\phi(k, y)$, такую, что

$$\mathcal{F}(k, \phi(k, y)) = y.$$

Тогда с учетом (3.40) имеем

$$\mathcal{F}(k, \phi(k, y) + \pi) = y + 2\mathcal{F}(k),$$

$$\phi(k, y) + \pi = \phi(k, y + 2\mathcal{F}(k)),$$

откуда

$$\sin^2 \phi(k, y) = \sin^2 \phi(k, y + 2\mathcal{F}(k)).$$

Таким образом, функция $\sin^2 \phi(k, y)$ является периодической функцией y с периодом $2\mathcal{F}(k)$. Замечая далее, что, согласно (3.28), (3.29),

$$2\mathcal{F}(k) \frac{x}{X} = \mathcal{F}(k, \phi),$$

$$\phi = \arcsin \sqrt{(\epsilon_1 - \epsilon)/(\epsilon_1 - \epsilon_2)},$$

найдем

$$\epsilon(x) = \epsilon_1 - (\epsilon_1 - \epsilon_2) \sin^2 \phi \left(k, 2\mathcal{F}(k) \frac{x}{X} \right)$$

или, учитывая (3.37), получаем окончательно

$$\epsilon(x) = \epsilon \left(1 - \frac{E(k)}{\mathcal{F}(k)} - k^2 \sin^2 \phi \left(k, 2\mathcal{F}(k) \frac{x}{X} \right) \right), \quad (3.41)$$

где величина X определяется выражением (3.38). Отметим, что функция $\sin \phi(k, u)$ связана с эллиптическим синусом $\text{sn}(u, k)$ соотношением

$$\sin \phi(k, u) = \text{sn}(u, k).$$

Формула (3.41) определяет длиннопериодическую структуру изучаемой системы при температурах, близких к температуре перехода T_0 .

4. Структура длиннопериодических решений при $T = 0$

Рассмотрим вопрос о нахождении одномерно-периодических решений уравнения самосогласования (3.1) вдали от точки фазового перехода, а именно при $T = 0$. В этом случае использование параметра $\tilde{\epsilon}(x)$ нецелесообразно, так как эта величина при $T = 0$ не является малой. Таким образом, решение уравнения (3.1) будем искать в виде

$$\varepsilon(p, x) = \varepsilon(x) + \varepsilon_p ,$$

где $\varepsilon(x)$ — периодическая функция переменной x . В приближении малых градиентов (большой период, см. ниже) уравнение (3.1) можно представить в виде

$$\varepsilon(x) = F_0 n(\beta, \mu - \varepsilon(x)) + F_2 \frac{\partial^2 n(\beta, \mu - \varepsilon(x))}{\partial x^2} , \quad (4.1)$$

где

$$F_0 = \int d^3r F(\mathbf{r}) , \quad F_2 = \frac{1}{2} \int d^3r x^2 F(\mathbf{r}) .$$

Вводя величину $\underline{\mu}(x) = \mu - \varepsilon(x)$ и рассматривая уравнение (4.1) как уравнение для определения функции n ($n(\underline{\mu}(x)) = n(x)$, $\underline{\mu} = \underline{\mu}(n)$), получаем

$$\frac{\partial^2 n}{\partial x^2} = \frac{1}{F_2} (\mu - \underline{\mu}(n) - F_0 n) .$$

Интегрирование последнего уравнения приводит к следующему выражению для $x = x(n)$:

$$x = \pm \int \frac{dn}{\sqrt{E - U}} , \quad (4.2)$$

где

$$U = \frac{2}{F_2} \int dn (\underline{\mu}(n) - \mu + F_0 n) \quad (4.3)$$

и E — постоянная интегрирования. Замечая, что при $T = 0$

$$n(\underline{\mu}) = \frac{2}{(2\pi)^3} \int d^3p \theta(\underline{\mu} - \varepsilon(p, x)) , \quad \frac{\partial n}{\partial \underline{\mu}} = v(\underline{\mu}) ,$$

находим

$$n = \int_{-\infty}^{\underline{\mu}} v(\varepsilon) d\varepsilon , \quad n(-\infty) = 0$$

и, следовательно, согласно (4.3),

$$U = \frac{2}{F_2} \left(\int_{-\infty}^{\underline{\mu}} \varepsilon v(\varepsilon) d\varepsilon - \underline{\mu} \int_{-\infty}^{\underline{\mu}} v(\varepsilon) d\varepsilon + \frac{1}{2} F_0 \left(\int_{-\infty}^{\underline{\mu}} v(\varepsilon) d\varepsilon \right)^2 \right) \quad (4.4)$$

(мы учли при этом, что

$$\int^n \mu(n) dn = \int^{\mu} \mu(dn/d\underline{\mu}) d\underline{\mu} = \int^{\mu} \mu v(\mu) d\mu ,$$

и выбрали константу интегрирования вполне определенным образом ввиду произвольности константы интегрирования E в формуле (4.2)). Таким образом, окончательно имеем

$$x = \pm \int^{\underline{\mu}} \frac{v(\varepsilon) d\varepsilon}{\sqrt{E - U(\varepsilon)}} , \quad (4.5)$$

где $U(\varepsilon)$ определяется выражением (4.4).

Рассмотрим теперь процедуру нахождения периода X функции $\varepsilon(x)$ на примере квадратичного закона дисперсии. В этом случае величина $v(\varepsilon)$ дается формулой (2.23), а величина $U(\varepsilon)$, определяемая соотношением (4.4), принимает вид

$$U(\varepsilon) = \frac{2}{F_2} \frac{\sqrt{2} m^{3/2}}{\pi^2} \times \\ \times \left\{ \frac{2}{5} \varepsilon^{5/2} - \frac{2}{3} \mu \varepsilon^{3/2} + \frac{2}{9} F_0 \frac{\sqrt{2} m^{3/2}}{\pi^2} \varepsilon^3 \right\} , \quad (4.6)$$

$$F_2 < 0 .$$

Как легко показать, функция $U(\varepsilon)$, определяемая соотношением (4.6), имеет при $F_0 < 0$ и $F_2 < 0$ один максимум и два минимума, причем одному из минимумов соответствует точка $\varepsilon = 0$, а точка второго минимума ε_0 удовлетворяет уравнению

$$a\varepsilon_0^{3/2} + \varepsilon_0 = \mu , \quad a = F_0 \frac{(2m)^{3/2}}{3\pi^2} < 0 . \quad (4.7)$$

Для нахождения периода X функции $\varepsilon(x)$ необходимо найти корни уравнения $E - U(\varepsilon) = 0$, определяющие так называемые точки поворота. Вблизи минимума ε_0 функции $U(\varepsilon)$ уравнение для нахождения точек поворота можно представить в виде

$$\tilde{E} - (\varepsilon - \varepsilon_0)^2 = 0 ,$$

$$\tilde{E} = \frac{2(E - U(\varepsilon_0))}{\partial^2 U(\varepsilon_0)/\partial \varepsilon_0^2} > 0 ,$$

откуда

$$\varepsilon_{\pm} = \varepsilon_0 \pm \sqrt{\tilde{E}} , \quad \varepsilon_+ > \varepsilon_- .$$

Период же функции $\varepsilon(x)$, согласно (4.5), определяется формулой

$$X = 2 \int_{\varepsilon_-}^{\varepsilon_+} \frac{v(\varepsilon_0) d\varepsilon}{\sqrt{E - U(\varepsilon_0) - \frac{1}{2} [\partial^2 U(\varepsilon_0)/\partial \varepsilon_0^2](\varepsilon - \varepsilon_0)^2}},$$

$$v(\varepsilon_0) = \frac{\sqrt{2} m^{3/2}}{\pi^2} \sqrt{\varepsilon_0},$$

откуда, вычисляя входящий сюда интеграл, найдем, что

$$X = 2 \left[\frac{F_2(2m)^{3/2}}{2\varepsilon_0^{1/2} + 3a} \right]^{1/2},$$

или, вводя безразмерную величину $\tilde{\varepsilon}_0$ с помощью соотношения

$$\varepsilon_0 = \frac{\pi^4}{m^3 F_0^2} \tilde{\varepsilon}_0,$$

получим окончательно

$$X = 2\pi \sqrt{F_2/F_0} \left[\frac{1}{(2\tilde{\varepsilon}_0)^{-1/2} - 1} \right]^{1/2},$$

где $\tilde{\varepsilon}_0$, согласно (4.7), удовлетворяет уравнению

$$\tilde{\mu} = \tilde{\varepsilon}_0 - \frac{2\sqrt{2}}{3} \tilde{\varepsilon}_0^{3/2}, \quad \tilde{\mu} = \frac{m^3 F_0^2}{\pi^4} \mu.$$

Это уравнение имеет решение только при $\tilde{\mu} < 1/6$, причем при $\tilde{\mu} = 1/6$ величина $\tilde{\varepsilon}_0 = 1/2$. Согласно определению величины F_2 , имеем $F_2 \approx x_0^2 F_0$, где x_0 определяет область, в которой функция $F(x) = \int dy dz F(\mathbf{r})$ отлична от нуля. Предполагаемая выше медленность изменения функции $\varepsilon(x)$ (малость градиентов) означает, что $x_0 \ll X$, или $\sqrt{2\tilde{\varepsilon}_0} \approx 1$. Таким образом, используемое нами приближение справедливо только в окрестности $\tilde{\mu} = 1/6$.

5. Заключение

Следует отметить, что описание возникающих в сильно взаимодействующих системах пространственно-периодических структур впервые было проведено Власовым [9] в методике, основанной на использовании приближения самосогласованного поля. Фактически в работе [9] проделана попытка построения классической (не квантовой) теории кристалла, поскольку все рассмотрения основывались на нахождении пространственно-периодических решений уравнения для самосогласованного потенциала взаимодействия с использованием равновесного распределения

Больцмана. Критике такого подхода, игнорирующего по сути квантово-механическую природу явления кристаллизации, посвящен ряд работ, и по этой причине нет нужды останавливаться на этом вопросе. Заметим лишь, что полученные в этой работе условия существования пространственно-периодических структур предполагают преобладание сил притяжения между частицами системы над силами отталкивания, что и должно выполняться для обычных кристаллов.

Кристаллические структуры могут возникать и в том случае, когда между соседними частицами (или квазичастицами), образующими такую периодическую структуру, действуют силы отталкивания, а не силы притяжения. Однако при этом необходимо существование каких-либо внешних по отношению к данной системе воздействий, компенсирующих влияние сил отталкивания. Возможность существования таких кристаллических структур была проиллюстрирована Вигнером [10] еще в 1934 г. на примере кристаллизации трехмерного электронного газа низкой плотности, находящегося в поле пространственно-однородного положительного заряда. Роль фактора, компенсирующего действие сил отталкивания, в данном случае и играет поле однородного положительного заряда. Задача описания явлений, связанных с трехмерной вигнеровской кристаллизацией, до сих пор вызывает интерес, несмотря на то, что пока не удалось создать условия для экспериментального наблюдения этого эффекта (см., например, [11]).

В этой связи отметим, что условия возникновения пространственно-периодических структур в ферми-жидкости, изученных в настоящей работе, также предполагают преобладание сил притяжения между квазичастицами над силами отталкивания (условие нарушения критерия Померанчука, см. (1.6)). Поскольку в нашем рассмотрении явный вид амплитуды Ландау не уточнялся, можно считать, что функция Ландау играет роль эффективного потенциала взаимодействия между квазичастицами, учитывающего действие как сил притяжения, так и сил отталкивания без конкретизации их природы, с преобладающим влиянием, однако, сил притяжения. Реализации таких условий вероятнее всего ожидать как раз в электронных жидкостях различного рода металлов. По этой причине можно надеяться, что результаты нашей работы могут иметь отношение к описанию трехмерной вигнеровской кристаллизации, естественно, с учетом отличий модели ферми-жидкости, используемой нами с целью упрощения

выкладок, от электронной жидкости в реальных металлах.

Как известно, условия двумерной вигнеровской кристаллизации достаточно просто реализовать в случае газа электронов над поверхностью жидкого гелия [11]. Однако для описания возникающих пространственных решеток в двумерной ферми-жидкости методика настоящей статьи требует определенной модификации, что выходит за рамки этой работы.

Работа выполнена при финансовой поддержке Государственного фонда фундаментальных исследований Украины (грант № 2.4/378), а также в рамках сотрудничества с университетом г. Росток, Германия.

1. Л. Д. Ландау, *ЖЭТФ* **30**, 1058 (1956); Л. Д. Ландау, *ЖЭТФ* **32**, 59 (1957).
2. В. П. Силин, *ЖЭТФ* **33**, 495 (1957); В. П. Силин, *ЖЭТФ* **35**, 1243 (1958).
3. И. Я. Померанчук, *ЖЭТФ* **35**, 524 (1958).
4. Ю. В. Слюсаренко, *ФНТ* **24**, 291 (1998).
5. А. И. Ахиезер, С. В. Пелетминский, *Методы статистической физики*, Наука, Москва (1977).
6. Д. Пайнс, Ф. Нозерь, *Теория квантовых жидкостей*, Мир, Москва (1967).

7. Г. Стенли, *Введение в фазовые переходы и критические явления*, Мир, Москва (1973).
8. А. С. Пелетминский, С. В. Пелетминский, Ю. В. Слюсаренко, *ФНТ* **25**, 211 (1999).
9. А. А. Власов, *Теория многих частиц*, Гостехиздат, Москва–Ленинград (1950).
10. Е. Р. Wigner, *Phys. Rev.* **40**, 1002 (1934).
11. Ю. П. Монарха, В. В. Шикин, *ФНТ* **8**, 583 (1982).

About phase transitions in the Fermi-liquid.

II. The transition, connected with the translational symmetry breaking

A. S. Peletminsky, S. V. Peletminsky,
and Yu. V. Slusarenko

The phase transition in the Fermi-liquid, connected with the translational symmetry breaking and the formation of periodical structures is considered. Special attention is given to the formation of one-dimensional long-periodical structures in a three-dimensional Fermi-liquid. The connection between the formation of such structures and the kinetic and thermodynamic stability of the Fermi-liquid normal state is analyzed.